

球形 Sn-SnSb 合金纳米粒子制备及其储锂性能

肖 尧¹, 吴娇红², 王 琪¹, 黄 令^{1*}, 李君涛², 孙世刚¹

(1. 厦门大学化学化工学院化学系,福建 厦门 361005; 2. 厦门大学能源研究院,福建 厦门 361005)

摘要: 锂离子电池 Sn 负极材料有较高的比容量,但其容量随周期循环急剧衰减。若 Sn 与 Sb 形成 SnSb 合金可以改善其循环性能。本文采用有机液相还原方法制备了球形 Sn-SnSb 合金纳米粒子,其首周期循环充电容量 1235.9 mAh·g⁻¹,放电容量为 785.9 mAh·g⁻¹,经过 50 周的循环之后其放电容量保持在 409.2 mAh·g⁻¹,表现出较好的循环性能。

关键词: 球形 Sn-SnSb 纳米粒子; 锂离子电池; 负极

中图分类号: TM912.9

文献标识码: A

锂离子电池传统的负极材料石墨理论容量为 372 mAh·g⁻¹,不能满足锂离子电池高容量的要求^[1]。Sn 负极材料(Li_{4.4}Sn)的理论容量 994 mAh·g⁻¹,但 Sn 与锂离子的合金化与去合金化过程中其体积有很大的变化,致使材料粉化、团聚、脱落,从而其容量急剧地衰减^[2]。将锡材料纳米化可以提高锡的性能,但是其比表面增大,也增加了锡材料的首次不可逆容量^[3-4]。若加入其它金属与 Sn 形成合金,则可缓解电极材料循环过程的体积膨胀,从而提高电池的循环性能^[5-9]。Sb 负极材料理论容量 660 mAh·g⁻¹,当其与锡形成合金后,由于两者和 Li 的合金化电位不同,当其中一种和 Li 合金化时另一种金属不参与反应可起缓冲作用,减缓其体积膨胀,从而增加电极的稳定性,提高其循环性能^[2,10-11]。

本文采用有机液相还原法合成了纳米 Sn 和 Sn-SnSb 复合纳米粒子,借助 XRD 和 SEM 等技术表征、观察材料相形结构和表面形貌,并通过恒电流充放电研究了两种纳米材料的电化学性能。

1 实 验

1.1 Sn-SnSb 复合纳米粒子

在 250 mL 三颈瓶中将 PVP 分散剂溶解于三甘醇中,加入 10 mL SnCl₂·2H₂O 的三甘醇溶液(0.13 g·mL⁻¹),持续搅拌 0.5 h,然后添入 50 mL NaBH₄ 的三甘醇悬浊液(0.053 g·mL⁻¹)可得 Sn 纳

米颗粒。而后持续搅拌 0.5 h,再加入 50 mL SbCl₃ 的三甘醇溶液(0.053 g·mL⁻¹),还原出 Sb 单质与 Sn 形成合金,整个过程温度设定于 90 °C,通 Ar 气保护。

反应样品用三次水和乙醇离心、洗涤,90 °C 真空干燥 10 h,即得 Sn-SnSb 复合纳米粒子。若不加入 SbCl₃,即可得纯 Sn 纳米粒子。

1.2 仪器和测试

使用 X'pert PRO X 射线衍射仪(荷兰 Panalytical)测试材料的相结构,Cu 靶,辐射源 K_α 线,管电压 40 kV,管电流 30 mA,扫描范围 20°~90°,步长 0.016°,每步时间 10 s 测试材料相结构,使用 S-4800 型扫描电子显微镜(日本,Hitachi)观察材料形貌。

1.3 电池组装和电化学性能

将活性材料:碳黑:粘接剂按 8:1:1(by mass)配置浆体,并将其均匀地涂敷于 Cu 箔基底上($\phi = 1.1 \text{ cm}$),120 °C 真空干燥 12 h 即可得到电极片。以锂片为对电极,1 mol·L⁻¹ LiPF₆/EC + DMC + DEC 为电解液(1:1:1,by volume)(广州天赐高新材料股份有限公司),Celgard 2400 作隔膜,在充满 Ar 的 M3RAUN 手套箱中组装成 2025 型模拟电池。采用蓝电池测试仪(武汉金诺电子),室温恒流(60 mA·g⁻¹)测试电池性能,电位区间 0.02~1.5 V。

收稿日期: 2013-04-02, 修订日期, 2013-06-21 * 通讯作者, Tel: (86-592)2180181, E-mail: huangl@xmu.edu.cn

国家自然科学基金项目(No. 21273184)、科技部 863 计划项目(No. 2011AA11A254)和国家重点基础研究发展计划项目(No. 2009CB220102)资助

2 结果与讨论

2.1 Sn-SnSb相结构与形貌

图1示出纳米Sn粒子和Sn-SnSb粒子的XRD图。从该图可知，在 $2\theta = 30.75^\circ, 32.07^\circ, 43.96^\circ, 44.93^\circ, 55.42^\circ, 62.61^\circ, 63.84^\circ, 64.68^\circ, 72.49^\circ, 73.32^\circ, 79.60^\circ$ 和 89.47° 分别出现衍射峰(图1A)，与纯Sn相对应(JCR No. 00-004-0673)。图1B除纯Sn相的衍射峰外，在 $2\theta = 29.17^\circ, 41.81^\circ, 51.77^\circ, 60.20^\circ, 68.40^\circ$ 和 76.35° 出现新的衍射峰，对应斜方 β -SnSb相(JCR No. 00-001-0830)。两种材料的谱图都没有相应的氧化物的峰，说明沉积过程的气密性可靠，材料无氧化。

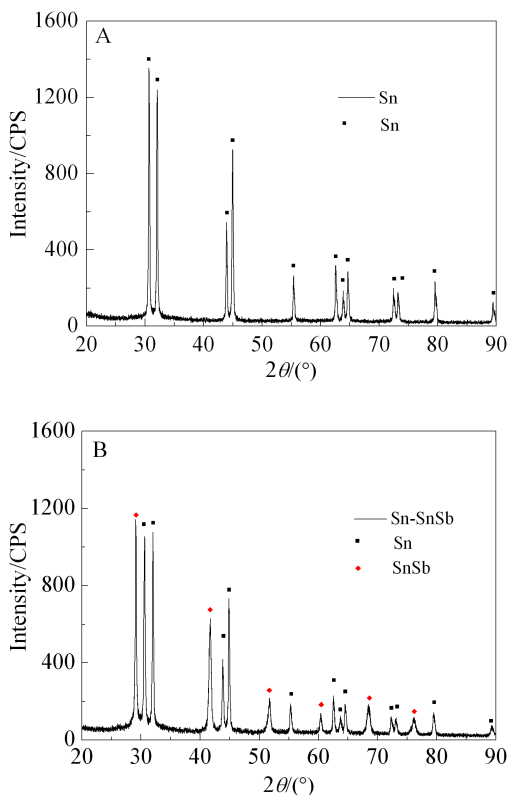


图1 Sn(A)和Sn-SnSb合金(B)纳米材料的XRD射线衍射谱图

Fig. 1 XRD patterns of Sn (A) and Sn-SnSb (B) nanoparticle

图2A、A'示出纳米Sn粒子扫描电镜照片，可以看出，纯Sn颗粒直径约50~100 nm。图2B、B'为纳米Sn-SnSb粒子扫描电镜照片，从图可知，Sn-SnSb粒子的直径约50~150 nm。Sn和Sn-SnSb纳米粒子都呈现球形，且分散均匀、无团聚。纯Sn表面有部分的小颗粒附着，而Sn-SnSb合

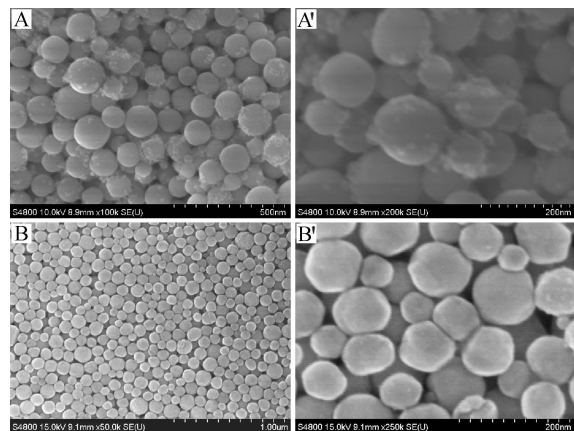


图2 纯Sn(A, A')和Sn-SnSb(B, B')的扫描电镜照片

Fig. 2 SEM images of Sn(A, A') and Sn-SnSb(B, B'), where the images A' and B' are shown at an enlarged scale

金表面很光滑，Sn-SnSb纳米粒子的分散性优于Sn纳米粒子。

2.2 Sn-SnSb合金电极的电化学性能

图3分别是纯Sn电极(A)和Sn-SnSb合金电极(B)的充放电曲线。在图3A中，首周期的充电曲

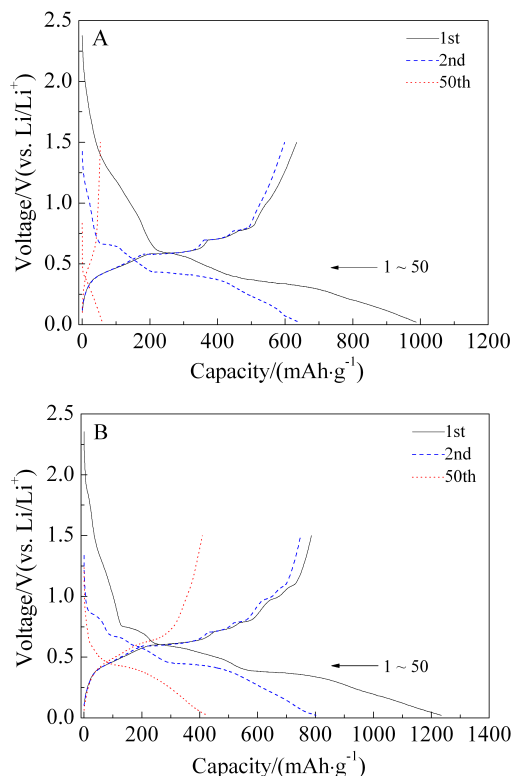


图3 Sn电极(A)和Sn-SnSb合金电极(B)的充放电曲线

Fig. 3 The 1st and 50th charge-discharge curves of Sn (A) and Sn-SnSb (B) electrodes

线在 1.2 V 左右有一个较小的平台, 对应于电解质分解和 SEI 膜形成, 且低于 0.7 V 有多个小平台, 对应着 Sn 和 Li 的多步骤合金化过程, 并形成多种组成 Li_xSn_y 的 Li-Sn 合金^[12-14]。50 周期循环其电极充放电容量已经急剧衰减。图 3B 中, Sn-SnSb 合金电极的首次充电曲线的第一个平台在 0.73 V, 对应着 Sb 与 Li 的合金化反应, 随后的充电曲线与图 3A 相似, 也有多个小平台, 对应着 Sn 和 Li 的多步骤合金化。但第 50 周期循环充放电曲线已趋平滑, 表明合金材料在经多周的循环之后其晶型已改变, 从高结晶度向低结晶度或者非晶态转变^[15]。SnSb 合金电极首次充电过程^[16]:

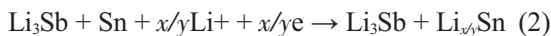


图 4 分别示出纯 Sn 电极(A)、Sn-SnSb(B)电极的微分容量曲线。从图 4A 可以看出, 纯 Sn 电极首次充电过程中, 有 3 个低电位峰(0.59 V、0.35 V、0.19 V), 分别对应着 Sn 多步合金化反应。在 1.2 V 左右有一个宽化峰, 对应电解液的分解和 SEI 膜的形成, 而第二周期此峰已不再出现, 即为不可逆反

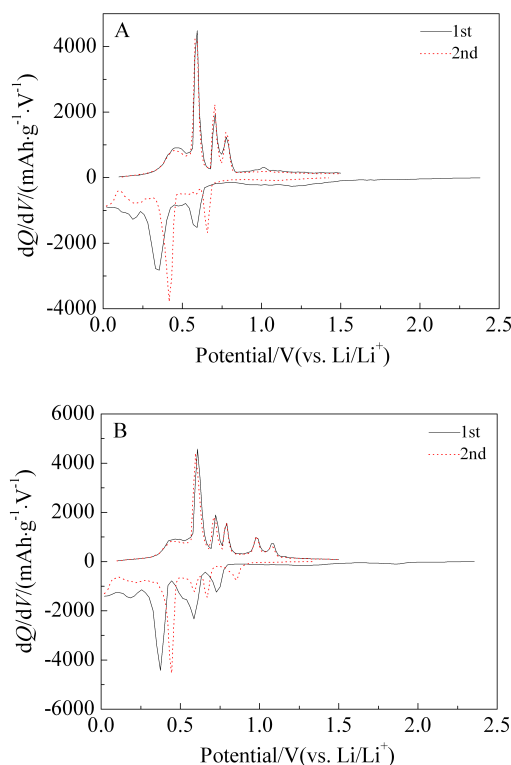


图 4 纯 Sn 电极(A)和 Sn-SnSb 合金电极(B)的微分容量曲线

Fig. 4 The differential curves of Sn (A) and Sn-SnSb (B) electrodes

应。放电过程的 3 个峰(0.59 V、0.71 V、0.77 V)对应着 Li-Sn 合金的去合金化。图 4B 首次充电过程, 0.73 V 呈现的峰对应于 Sb 和 Li 的合金化反应, 更低电位峰(0.58 V、0.36 V、0.18 V)为 Sn 与 Li 的合金化, 放电过程中, 低于 0.9 V 的峰对应着 Li-Sn 合金的去合金化, 而 0.98 V 和 1.08 V 的 2 个峰对应着 Li-Sb 合金的去合金化以及 Sn 和 Sb 的合金化^[9, 17]。比较图 4A 和图 4B 可以看出, 电极第二周期的充电峰都往较正的电位移动, 说明电极在首周期充电过程极化较大, 可能是源于较低的 Li^+ 迁移率^[15]。

图 5 分别给出纯 Sn 和 Sn-SnSb 合金电极的循环曲线。从图 5 可看出, 纯 Sn 电极的首周期充电容量 987.8 mAh·g⁻¹, 放电容量 634.2 mAh·g⁻¹, 50 周期循环之后其放电容量急剧衰减至 48.6 mAh·g⁻¹, 在充放电过程 Sn 体积膨胀造成材料团聚和粉化, 甚至流失, 从而使其循环稳定性甚差。Sn-SnSb 合金电极首次充电容量 1235.3 mAh·g⁻¹, 放电容量为 785.9 mAh·g⁻¹, 在经过 50 周期循环之后, 其放电容量仍保持至 409.2 mAh·g⁻¹。结果表明, Sn-SnSb 合金电极循环性能优于纯 Sn 电极, 这主要归因于 Sn 与 Sb 形成 SnSb 合金后, 由于 Sn、Sb 与 Li 的合金化电位不同, 当一种金属和 Li 发生合金化反应另外一种金属即起着缓冲作用, 从而提高了材料的循环稳定性。而加入了 Sb 使其首周期不可逆容量增大, 其库仑效率略有降低, 这可能增强了电极的极化^[9]。

图 6 示出纯 Sn 电极和 Sn-SnSb 合金电极的库伦效率曲线, 从图 6 可以看出, 两种电极的首次库伦效率均较低, 这可能的原因有: 材料的纳米化增大了比表面积, 电池副反应增多(如电解液的分解

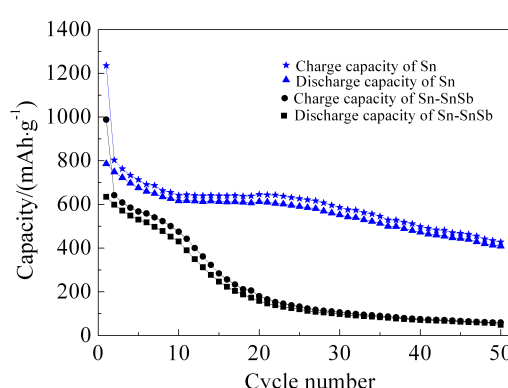


图 5 Sn 和 Sn-SnSb 合金电极的循环寿命曲线

Fig. 5 Cycling performances of Sn electrode and Sn-SnSb alloy electrode

和SEI膜的形成);其次,电极制备过程部分电极材料被氧化形成了氧化物;再者,电极材料的体积膨胀产生的机械应力使部分Li不能从电极中脱出,形成“死锂”^[18].由于纯Sn电极的粉化、脱落,使得Sn电极的库仑效率出现较大波动,而Sn-SnSb合金电极从第2周期循环开始一直保持很高的库仑效率。

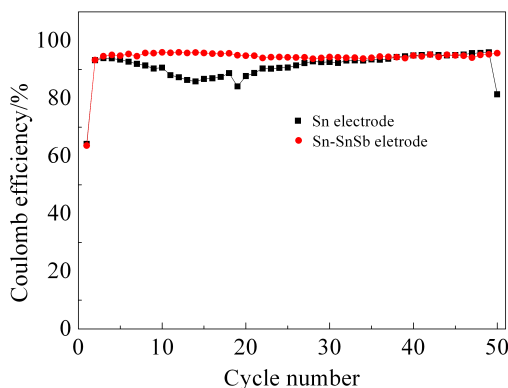


图6 纯Sn电极和Sn-SnSb合金电极的库伦效率曲线

Fig. 6 Coulombic efficiency curves of Sn and Sn-SnSb electrodes

3 结 论

以 SnCl_2 和 SbCl_3 为原料通过有机液相化学还原成功合成了单分散球形纳米Sn和Sn-SnSb合金两种材料,纯Sn电极的循环性能不稳定,随充放电周期循环其容量迅速衰减;而其与锑形成Sn-SnSb合金后,二者相互缓冲,从而提高该电极的循环性能,其首周期的放电容量(脱锂)为785.9 $\text{mAh} \cdot \text{g}^{-1}$,50周期循环,其容量保持409.2 $\text{mAh} \cdot \text{g}^{-1}$.

参考文献(References):

- [1] Lee S H, Mathews M, Toghiani H, et al. Fabrication of carbon-encapsulated mono-and bimetallic (Sn and Sn/Sb alloy) nanorods-potential lithium-ion battery anode materials[J]. *Chemistry of Materials*, 2009, 21(11): 2306-2314.
- [2] Guo H, Zhao H L, Jia X D, et al. Synthesis and electrochemical characteristics of Sn-Sb-Ni alloy composite anode for Li-ion rechargeable batteries [J]. *Materials Research Bulletin*, 2007, 42 (5): 836-843.
- [3] Winter M, Besenhard J O. Electrochemical lithiation of tin and tin-based intermetallics and composites [J]. *Electrochimica Acta*, 1999, 45(1/2): 31-50.
- [4] Yang J, Winter M, Besenhard J O. Small particle size multiphase Li-alloy anodes for lithium-ion batteries[J]. *Solid State Ionics*, 1996, 90(1/4): 281-287.
- [5] Yoshinaga H, Kawabata A, Xia Y, et al. New V-Sn alloys prepared by powder metallurgy for lithium battery negative electrode[J]. *Journal of the Japan Society of Powder and Powder Metallurgy*, 2002 ,49(1): 37-43.
- [6] Kim D G, Kim H, Sohn H J, et al. Nanosized Sn-Cu-B alloy anode prepared by chemical reduction for secondary lithium batteries[J]. *Journal of Power Sources*, 2002, 104 (2): 221-225.
- [7] Mao O, Dunlap R A, Dahn J R. Mechanically alloyed Sn-Fe(-C) powders as anode materials for Li-ion batteries: I. The Sn₂Fe-C system[J]. *Journal of The Electrochemical Society*, 1999, 146(2): 405-413.
- [8] Mukaibo H, Momma T, Osaka T. Changes of electro-deposited Sn-Ni alloy thin film for lithium ion battery anodes during charge discharge cycling[J]. *Journal of Power Sources*, 2005, 146(1/2): 457-463.
- [9] Zhao H L, Yin C L, Guo H, et al. Studies of the electrochemical performance of Sn-Sb alloy prepared by solid-state reduction[J]. *Journal of Power Sources*, 2007, 174 (2): 916-920.
- [10] Yang J, Takeda Y, Imanishi N, et al. Ultrafine Sn and SnSb_{0.14} powders for lithium storage matrices in lithium-ion batteries[J]. *Journal of The Electrochemical Society*, 1999, 146(11): 4009-4013.
- [11] Wolfenstine J, Campos S, Foster D, et al. Nano-scale Cu_xSn_y anodes[J]. *Journal of Power Sources*, 2002, 109 (1): 230-233.
- [12] Mukaibo H, Osaka T, Reale P, et al. Optimized Sn/SnSb lithium storage materials[J]. *Journal of Power Sources*, 2004, 132(1/2): 225-228.
- [13] Trifonova A, Wachtler M, Wagner M R, et al. Influence of the reductive preparation conditions on the morphology and on the electrochemical performance of Sn/SnSb [J]. *Solid State Ionics*, 2004, 168(1/2): 51-59.
- [14] Wachtler M, Winter M, Besenhard J O. Anodic materials for rechargeable Li-batteries [J]. *Journal of Power Sources*, 2002, 105(2):151-160.
- [15] Zhao H L, Zhu Z M, Yin C L, et al. Electrochemical characterization of micro-sized Sb/SnSb composite anode[J]. *Materials Chemistry and Physics*, 2008, 110(2/3): 201- 205.
- [16] Rom I, Wachtler M, Papst I, et al. Electron microscopical characterization of Sn/SnSb composite electrodes for lithium-ion batteries [J]. *Solid State Ionics*, 2001, 143 (3/4): 329-336.
- [17] Wang Z, Tian W H, Li X G. Synthesis and electrochemistry properties of Sn-Sb ultrafine particles as anode of lithium-ion batteries[J]. *Journal of Alloys and Com-*

- pounds, 2007, 439(1/2): 350-354.
- [18] Huang K L (黄可龙), Zhang G (张戈), Liu S Q (刘素琴), et al. Synthesis and electrochemical performance of Sn-SnSb/graphite composite materials[J]. Chinese Journal of Inorganic Chemistry(无机化学学报), 2006, 22(11): 2076-2079.

Preparation and Lithium Storage Performance of Sn-SnSb Nanoparticles

XIAO Yao¹, WU Jiao-hong², WANG Qi¹, HUANG Ling^{1*}, LI Jun-tao², SUN Shi-gang¹

(1. Department of Chemistry, College of Chemistry and Chemical Engineering, Xiamen University, Xiamen 361005, Fujian, China; 2. School of Energy Research, Xiamen University, Xiamen 361005, Fujian, China)

Abstract: Tin was widely studied as alternative anode material to carbon for lithium-ion batteries thanks to its much higher theoretical capacity. However, a pure tin electrode suffers severely from its poor cycleability due to mechanical fatigue caused by volume change during lithium insertion and extraction processes. Tin-based alloy may improve the cycleability property of tin electrode. In this article, we report facile synthesis of spherical Sn-SnSb nanoparticles using a simple solvent-thermal approach. It is amazing to find that the spherical Sn-SnSb nanoparticles can circumvent volume changes effectively during the charge-discharge process. Electrochemical discharge/charge results show that the spherical Sn-SnSb nanoparticles electrode exhibits much better cycle ability than the pure Sn electrode, with the first charge capacity and discharge capacity of 1235.9 and 785.9 mAh·g⁻¹, respectively. After 50th cycling, the discharge capacity is reduced to 409.2 mAh·g⁻¹.

Key words: spherical Sn-SnSb nanoparticles; lithium ion batteries; negative electrode